

コンピュータネットワークによる 並列論理シミュレーションの検討

古賀 義亮 竹之上 典昭
(防衛大学校・電気工学教室)

1. まえがき

VLSIの発達により回路の集積化が進み、論理シミュレーションの実行に多大な時間を費やすようになった。将来さらに回路の集積化が進めば一台のコンピュータによる論理シミュレーションは実行不可能な状態にまでなるであろうといわれている。論理シミュレーションの高速化を図るには、一台のコンピュータの処理速度を高速化するだけに留まらず、複数のコンピュータを使用する並列処理も併せて開発すべきである。すでにIBMから、論理シミュレーションを並列処理するYorktown Simulation Engine (YSE) という専用機が出現しており、そのことから並列処理の必要性は明らかである。本報告では、汎用の3ポートコンピュータネットワークを用いて並列に論理シミュレーション(ゲートレベル)を行なう方法について提案を行ない、その検討を行なう。さらに、MOSレベルのシミュレーションについても新たに提案を行なう。

2. コンピュータネットワーク

本報告で取り扱うコンピュータネットワークは、各ノードコンピュータが、3本の入出力端子を持つ3ポートコンピュータネットワークである。図2-1は、3ポートコンピュータのネットワーク例であり、各ノードコンピュータには、表2-1のような連結表を持たせる。コンピュータネットワークを用いて、論理シミュレーションを並列処理するために、論理回路の各素子をノードコンピュータに割り振って処理する方法を用いる。この方法で並列処理するためには、次の条件が必要である。

- (1) 各ノードコンピュータに割り振られた素子は、ほぼ均等に配分する。
- (2) ノードコンピュータの数がネットワークの大きさにより限定されるため、シミュレーションする回路の素子数が多い場合、一つのノードコンピュータに多数の素子に関する情報を蓄積することができる。
- (3) 論理回路をコンピュータネットワーク上に展開し、各ノードコンピュータに蓄積するためには、ネットワーク上のいずれかのノードコンピュータから入力

表2-1 連結表

ノード	0	1	2
0	1	2	15
1	3	4	0
2	0	5	6
3	7	1	16
4	1	8	5
5	4	10	2
6	2	11	19
7	3	12	8
8	7	9	4
9	8	13	10
10	9	11	5
11	10	14	6
12	7	17	13
13	12	14	9
14	13	18	11
15	16	0	19
16	17	3	15
17	16	18	12
18	17	19	14
19	18	6	15

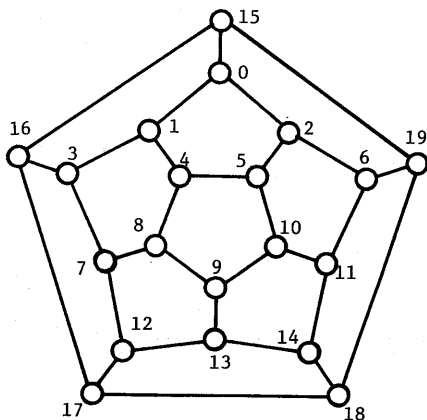


図2-1 3ポートコンピュータネットワーク

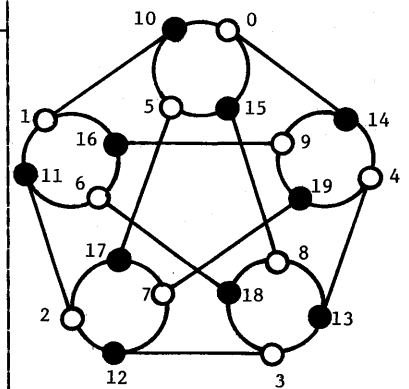


図2-2 AONの一例

可能とする。

(4) 各ノードコンピュータ相互間のデータ送受信においてデータの衝突を起こさない。

又、論理回路は2分木構造に変換(5章参照)して展開するので、完全2分木をコンピュータネットワーク上に展開すると、図2-1のネットワークでは表2-3のようになる。この表で*は、そのレベルでの展開動作が一回以上行なわれたことを示す。表内の数は、そのレベルまでにノードコンピュータに蓄積された素子の量を示している。表2-3では、レベル7以上になるとすべてのノードコンピュータが展開動作を行なっている。この状態では、ノードコンピュータは3方向同時にデータの送受信を行なう必要がある。図2-1のネットワークで、データを衝突させないようにするためには、ノードコンピュータ間の通信のプロトコルによる制御等を用いなければならない。しかし、図2-2の3ポートネットワークで同様に完全2分木を展開する

と表2-4のような結果が得られる。この表の*に注目すると奇数レベルでは右半分に表われ、偶数レベルでは左半分に表われている。また、蓄積量も*が表われたノードコンピュータだけが增加している。これはコンピュータネットワークが交互に動作していることを示している。このような交互動作を行なうネットワークをAON(Alternate Operable Network)と呼ぶ。AONは偶数個のノードコンピュータから成り、図2-2のように2つのグループ(白ノードと黒ノード)に分割すると、互いに反対のグループのノードと結合するような連結2部グラフのコンピュータネットワークである。この特性により、2つのグループは交互に送受信を行なうことができ、データの衝突を防ぐことができる。図2-3はノードコンピュータ120個のAON上に完全2分木を展開した場合の蓄積量を隠線消去の手法を用いて3次元表示したもので、中央を縦に走る断層面が、AONが交互に

表2-2 AONの連結表

ノード	0	1	2
0	10	15	14
1	11	16	10
2	12	17	11
3	13	18	12
4	14	19	13
5	15	10	17
6	16	11	18
7	17	12	19
8	18	13	15
9	19	14	16
10	5	0	1
11	6	1	2
12	7	2	3
13	8	3	4
14	9	4	0
15	0	5	8
16	1	6	9
17	2	7	5
18	3	8	6
19	4	9	7

表2-3*** 27"ンキ" ノ テンカイ 3PORT NETWORK**

\node\#	N0	N1	N2	N3	N4	N5	N6	N7	N8	N9	N10	N11	N12	N13	N14	N15	N16	N17	N18	N19	
Level\#																					
1	1	1	0	0	0	0	0	0	0	0	0	0	0	0	0	0	0	0	0	0	: 3
2	1	1	1	1	1	1	1	0	0	0	0	0	0	0	0	0	0	0	0	0	: 7
3	1	1	1	1	2	2	1	1	1	0	1	1	0	0	0	0	1	0	0	1	: 15
4	1	2	2	1	2	2	1	2	3	2	3	2	1	0	1	2	1	1	1	1	: 31
5	5	2	2	3	3	3	3	3	4	6	4	3	3	4	3	2	2	3	3	2	: 63
6	5	7	7	5	5	5	5	6	6	8	6	6	8	12	8	4	6	6	6	6	: 127
7	9	11	11	13	12	12	13	13	11	12	11	13	18	16	18	12	11	14	14	11	: 255
8	25	20	20	25	24	24	25	30	25	22	25	30	27	24	27	22	27	31	31	27	: 511
9	45	52	52	51	45	45	51	51	54	50	54	51	49	44	49	54	56	57	57	56	: 1023
10	109	101	101	109	103	103	109	94	96	108	96	94	98	100	98	112	108	100	100	108	: 2047

TI#=000341

動作していることを表わしている。本報告では、AONを用いることによりコンピュータネットワーク上での並列論理シミュレーションを円滑にしかも高速に行なう方式を用いる。

3. ノードコンピュータの構造

AONを構成するノードコンピュータの構造について述べる。本方式によるシミュレーションでは、AONの特性上からノードコンピュータには、次の能力が要求される。

(1) 3方向に対してデータの送受信ができること。

(2) 送受信と並列してデータ処理(データフローによる実行の制御)を行なえること。

(3) 配分された各素子に関する情報を一時的に蓄積できること。

この要求に答えるため次の2つの構造について検討する。

3.1 1-CPU U&3-バッファ

図3-1がこのノードコンピュータの構造である。このノードコンピュータは、1つのCPUと3つのバッファで構成され、すべての処理は1つのCPUによってなされる。3つのポートに対するデータの送受信のため各ポートにはバッファが必要である。3方向から同時に受信したデータの処理は1つのCPUで逐次に処理する。

3.2 3-CPUの結合

図3-2が3つのCPUを使用したノードコンピュータの

表2-4 *** 27"ンキ" ノテンカイ AON***

\node	N0	N1	N2	N3	N4	N5	N6	N7	N8	N9	N10	N11	N12	N13	N14	N15	N16	N17	N18	N19	
Level\#																					
1	1	0	0	0	0	0	0	0	0	0	1	0	0	0	0	1	0	0	0	0	: 3
2	1	1	0	0	0	2	0	0	1	0	1	0	0	0	0	1	0	0	0	0	: 7
3	1	1	0	0	0	2	0	0	1	0	2	1	0	1	0	2	1	2	1	0	: 15
4	3	2	3	2	1	2	3	2	2	1	2	1	0	1	0	2	1	2	1	0	: 31
5	3	2	3	2	1	2	3	2	2	1	3	6	7	3	4	3	4	3	5	4	: 63
6	5	9	10	11	9	5	9	10	7	10	13	6	7	3	4	3	4	3	5	4	: 127
7	5	9	10	11	9	5	9	10	7	10	13	16	17	21	15	11	20	19	17	21	: 255
8	30	31	32	33	39	33	35	37	35	36	13	16	17	21	15	11	20	19	17	21	: 511
9	30	31	32	33	39	33	35	37	35	36	68	66	68	65	74	76	62	64	69	70	: 1023
10	159	134	134	136	131	142	127	128	140	134	68	66	68	65	74	76	62	64	69	70	: 2047

TI#=000340

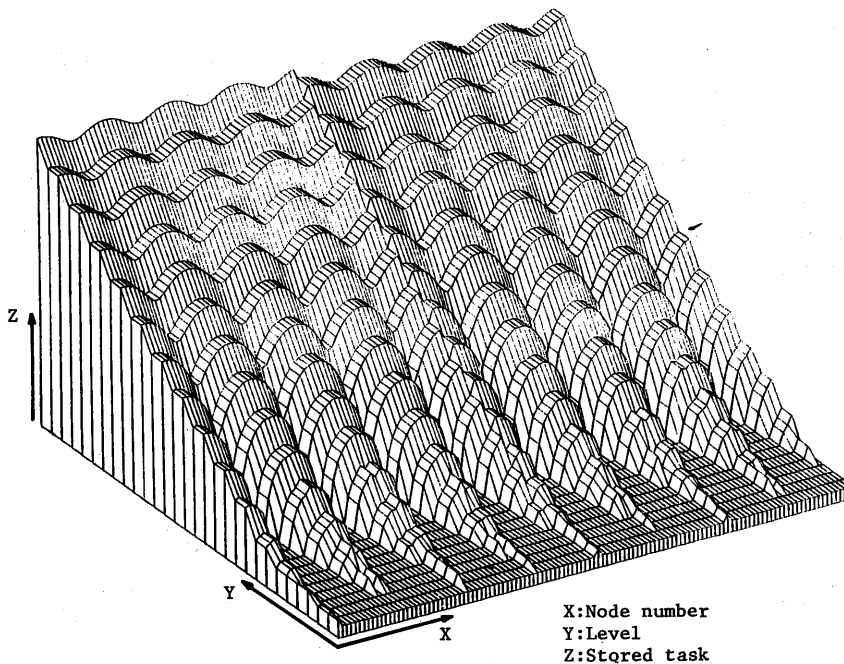


図2-3 AONでの2分木の展開

構造である。各CPU (x, y, z) は、それぞれ一つ一つのポートを担当しており、各CPUは図3-3のように共通メモリによって結合している。この構造では、各CPUは、それぞれの担当ポートのみに対してのデータの送受信及び処理を実施する。

図3-1の構造と図3-2の構造を比較すると、並列処理を行なうためには、図3-2の構造の方が有利である。本来並列に処理されるべき3方向からのデータを図3-1の構造の場合では、逐次に処理しなければならないが、図3-2の構造では、3つのノードコンピュータで並列に処理できる。さらに図3-2の構造をAONの特徴とあわせ考えれば、各ポートには必ずしもバッファを設ける必要がないことがわかる。つまり、各CPUは、自分のメモリにデータを書きこむのと同じように隣のノードコンピュータにデータを送ることができる。以上のことからここでは図3-2の構造のノードコンピュータを採用し、TNC (Three port Node Computer) と呼ぶこととする。

4. 回路記述言語

コンピュータネットワークを用いて並列論理シミュレーションを行なうためには論理回路をコンピュータに入力する必要がある。又、並列処理の実行を行なうためにも新しい回路記述言語が必要となる。そこで、次の点に注目した回路記述

言語を提案する。

- (1) 回路記述にあたり物理的な意味との対応を付けやすい表現にする。
- (2) 並列処理の記述が容易である。
- (3) 構造化言語の体系を用い階層的な記述を可能にする。

回路の記述は、PASCALの手続きのような構造と役割をもつ回路文 (circuit) という手続きによって行なう。図4-1-aのような直列加算回路を例とすると、直列加算回路は、全加算器、レジスタなどの回路で構成されている。また、直列加算回路の部品としての全加算器も半加算器やその他の素子によって構成されている。このような階層構造を回路文で記述すると、図4-2のようになる。この図では、REGISTERやFULLADDERは、SERIALADDERの中のみで有効である。また、論理回路の物理的な意味と対応づけるため、入出力端子 (port)、接続端子 (terminal)、接続線 (line)、部品の関数機能 (element... function)、端子の接続 (connection) などの宣言文がある。また、並列処理を指示する (parallel) がある。

図4-3は集積化論理演算装置 (ALU) を記述した例である。var から function の終わりまでが宣言部分であり、circuit SUB は、circuit ALU の中の

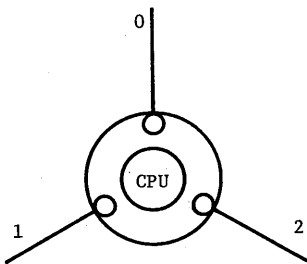


図3-1 1-CPU&3-バッファ

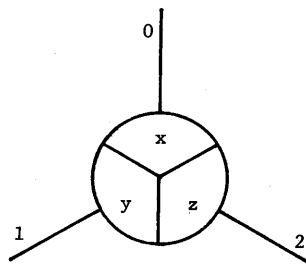


図3-2 3-CPUの結合 (TNC)

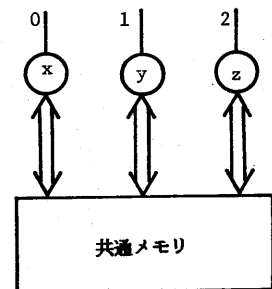


図3-3 TNC (メモリとの結合)

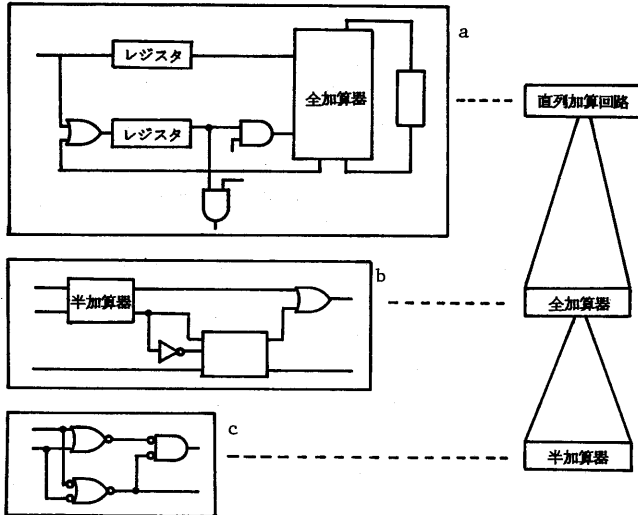


図4-1 回路の階層構造

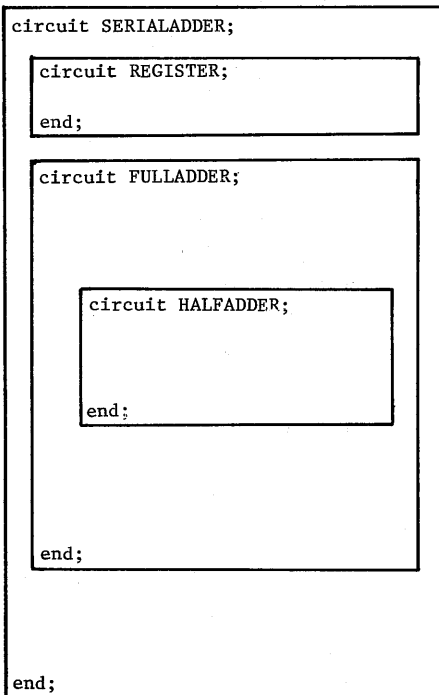


図4-2 回路文の構造

サブシステムとしての回路である。そして、実行部分は、begin parallel から end の間である。

この parallel により、AONによる並列論理シミュレーションを指示している。

5. 回路のネットワークへの展開とシミュレーションの実行
論理回路をコンピュータネットワーク上に展開する方法について図5-1の回路を例として説明する。これは排他的論理和の回路である。この回路の各素子をノードとする木として表現すると図5-2のようになる。

```

circuit ALU;
var J;
port
  A,B,S,F:array[0-3];
  M,CN,GY,CN4,PX,AB;
line
  LI1,LI2:array[0-3];
element
  AND3(I1,I2,I3);
  AND4(I1,I2,I3,I4);
  AND5(I1,I2,I3,I4,I5);
  NOR2(I1,I2);
  NOR3(I1,I2,I3);
  NOR4(I1,I2,I3,I4);
function
  AND3:=I1 and I2 and I3;
  AND4:=I1 and I2 and I3 and I4;
  AND5:=I1 and I2 and I3 and I4 and I5;
  NOR2:=not(I1 or I2);
  NOR3:=not(I1 or I2 or I3);
  NOR4:=not(I1 or I2 or I3 or I4);
circuit SUB(A,B,P,Q);
line LNOT,F1,F2,G1,G2,G3;
begin
  LNOT:=not B;
  F1:=B and S[3] and A;
  F2:=A and S[2] and LNOT;
  G1:=LNOT and S[1];
  G2:=S[0] and B;
  G3:=pass A;
  P:=not(F1 or F2);
  Q:=not(G1 or G2 or G3)
end;
begin parallel
for J:=0 to 3 do
  SUB(A[J],B[J],LI1[J],LI2[J]);
  GY:=NOR4(pass(LI2[3]),(LI1[3] and LI2[2]),
    AND3(LI1[3],LI1[2],LI2[1]),AND4(LI1[3],
    LI1[2],LI1[1],LI2[0]));
  CN4:=not(GY) or not(not(AND5(LI1[3],LI1[2],
    LI1[1],LI1[0],CN)));
  PX:=not(AND4(LI1[3],LI1[2],LI1[1],LI1[0]));
  F[3]:=(LI1[3] xor LI2[3]) xor NOR4(AND5(
    CN,LI1[0],LI1[1],LI1[2],M),AND4(LI1[1],
    LI1[2],LI2[0],M),AND3(LI1[2],LI2[1],M),
    (LI2[2] and M));
  F[2]:=(LI1[2] xor LI2[2]) xor NOR3(AND4(CN,
    LI1[0],LI1[1],M),AND3(LI1[1],LI2[0],M),
    (LI2[1] and M));
  F[1]:=(LI1[1] xor LI2[1]) xor NOR2(AND3(CN,
    LI1[0],M),(LI2[0] and M));
  F[0]:=(LI1[0] xor LI2[0]) xor not(CN and M);
  AB:=AND4(F[3],F[2],F[1],F[0]);
end;

```

図4-3 ALU記述例

図5-2は2分木構造になっているが、一般の論理回路を木として表現しても2分木にはならないことが多い。本報告で用いるノードコンピュータはTNCであるので、木はすべて2分木に変換する。

2分木構造となった論理回路をAON上に展開するためには、回路情報をデータ各TNCへ送り、各素子の機能をタスクとして蓄積する。そのために、この2分木を行きがけ順になぞって一列化を行ない、

$$f = +(*(!A).B).*(*A.!B))$$

のような構造に変換する。各TNCはこれを2方向へ分割しながら展開する。図5-3に展開の様子を示す。各TNCは先頭に出てくる演算子をタスクとして取り込み、その後続くデータを左右に分割して次のTNCに送っている。

各TNCに取り込まれたタスクは、図5-4のような構成で与えられ、親のタスクのデータを指し示すポインタ(LOC)と、データを入れる箱(DATA)をもつ。そして、各DATAという箱に

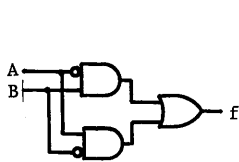


図5-1 排他的論理和

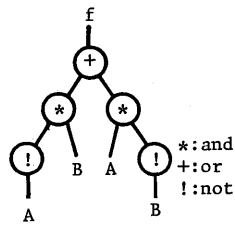


図5-2 木としての表現

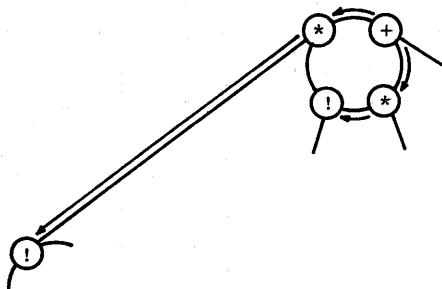


図5-3 木の展開

はさらにデータが有意となることを示すトークンを入れる場所がある。

AON上へ展開された論理回路は展開の逆順、つまり木で表わすと葉となるタスクからデータを流してシミュレーションを行なう。この場合、蓄積されたタスクのうち、どのタスクを実行するかという判断は、データの流れを示すトークンによって与え、トークンのそろったタスクから実行する。以上の方法により、AON上をデータは衝突することなくスムーズに流れ、シミュレーションが実行される。

6. 並列論理シミュレーションの検討

5章までに述べてきた並列論理シミュレーションの方法についてのシミュレーション結果をもとに、本方式の特徴を明らかにする。そのため、図2-2のAON上でALUの論理シミュレーションを行なう場合について、AONの状態及び処理状況をシミュレーションした結果を示す。このシミュレーションを行なうにあたり、アルゴリズムの開発は、マイコンのMZ-80BのPASCALを用い、これをもとに実際のシミュレーションにあたっては、計算機にHITAC M200Hを、言語はPASCALを用いた。また、ALUをネットワークへ展開するための、一列化は、マイコンのPC-8801を用いて行ない、そのデータはTSSを通じて、HITACのデ

LOC	
演算子	
トークン	DATA
トークン	DATA

```
GY=nor(11.12.13.14)
CN4=nor(GY.15)
PX=nand(31.33.35.37)
11=pass(32)
12=and(31.34)
```

図6-1 結線情報の記述

図5-4 タスクの構成

ータセットへ送り込むことによって実行した。シミュレーションまでの手順を以下に示す。

(1) ALUの結線情報を図6-1の様に入力する。

(2) 結線情報の演算子を表6-1の対応表に基いて変換する。

(3) 結線情報の多入力を2入力に変換する。

(4) 根となるべき出力端子を指定して一列化を行なう。

この手順によりALUの一列化データを作ると、ALUには、8つの出力端子があるため、8つの木のデータが作製される。さらに、シミュレーションのためには、表2-2のAONの連結表のデータ、及び、論理シミュレーション用データも入力しなければならない。図6-2はこのシミュレーションに必要なデータ及び出力を図示したものである。

以上の前提にもとづき、3種のALU展開法によるシミュレーション結果を以下に示す。

6.1 1つのTNCからの展開

ALUの8つの木をノード0のポート2のCPU(以下N(0,2)と記述する)から展開すると、表6-2のように各CPUにタスクが蓄積される。Port 0, Port 1, Port 2の欄が

それであり、SUMの欄はノード毎の蓄積量、%の欄は全タスクに対するノードへの配分をパーセント表示したものである。また、平均と分散は、CPU毎の蓄積量に対するものである。表6-2を見るとALUが575のタスクによって構成されていることがわかる。しかし、入力したALUの回路素子は63であり、一台のコンピュータで逐次処理をするためファンインを考慮しても素子数は100である。つまりAON上に展開したことによって素子数を比較すれば5.75倍になっている。これは本方式による回路の展開上の欠点である。このように1つのTNCから展開するのを以後TYPE-Pということにする。

6.2 それぞれの木をN(0,2)からN(7,2)に振り分けて展開

次にALUの8つの木を1つずつのTNCに振り分けて展開する(TYPE-E)と、表6-3のようになる。こうするとTYPE-Pと比べて、分散が19.31から6.41へと小さくなり、図6-3の度数分布図を見るとTYPE-Eの方がAONにタスクをより均等に配分していることがわかる。この結果、表6-5のCalculate欄の7番と14番を比べてもわかるようにTYPE-Eの方が少ないステップ数でシミュレ

and : *
or : +
not : !
xor : @
gate : %
pass : ¥
nand : &
nor : ?

Root : #

表6-1 演算子の対応

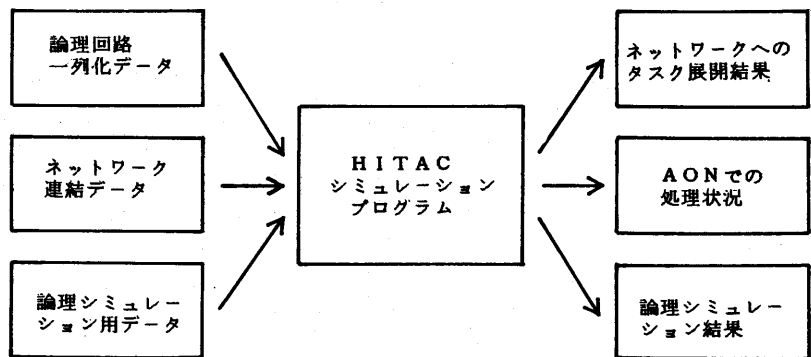


図6-2 シミュレーションに必要なデータ及び出力

シミュレーションを終了している。しかし、この方法もAONに展開された素子数に関する欠点は同じである。そこでALUの回路をもう一度見直すために図4-3を見ると以下のことがわかる。8つの出力端子のうち5つの端子は他の3つの端子に出力するための中間の部品からの出力端子である。つまり、5つの端子を根とする木は、3つの端子を根とする木の部分木になっている。この特徴を利用すると、3つの木を展開するだけでシミュレーションが行なえる。この方法を採用するためには、木を系列化する際に、演算子に出力端子記号を付加するだけでよい。出力端子記号を付加されたタスクは、シミュレーション結果を記憶しておくようにする。シミュレーション終了

後、親となるノードコンピュータの呼びかけに応じて結果を回収する。図2-2のAONであれば、最大5回の交互動作によってすべての結果が回収できる。

6.3.3の木をN(0,2)からN(2,2)に振り分けて展開

3の木を展開する(TYPE-E)と、表6-4のようになり、タスクの総数も317に減少する。これは、8つの木を展開する場合に比べて、約45%の減少であり、処理速度に大きく影響している。表6-5のCalculateをData数で割ると一つの論理シミュレーションのステップ数がわかる。14番のTYPE-Eと15番のTYPE-Eの1-inst欄を比べると31対19になっており、約1.6倍速く

表6-2 ALUの展開時のタスクの蓄積量 (TYPE-P)
平均 9.58 分散 19.31

Node	Port 0	Port 1	Port 2	SUM	%
0	8		11	24	4
1	10		15	38	8
2	11		19	46	10
3	8	10	13	31	7
4	10	11	11	26	6
5	11	11	1	4	1
6	11	10	1	4	1
7	12	1	1	4	1
8	17	1	1	19	4
9	1	1	1	4	1
10	1	1	1	4	1
11	1	1	1	4	1
12	1	1	1	4	1
13	1	1	1	4	1
14	1	1	1	4	1
15	1	1	1	4	1
16	1	1	1	4	1
17	1	1	1	4	1
18	1	1	1	4	1
19	1	1	1	4	1
190	193	177	205	575	100

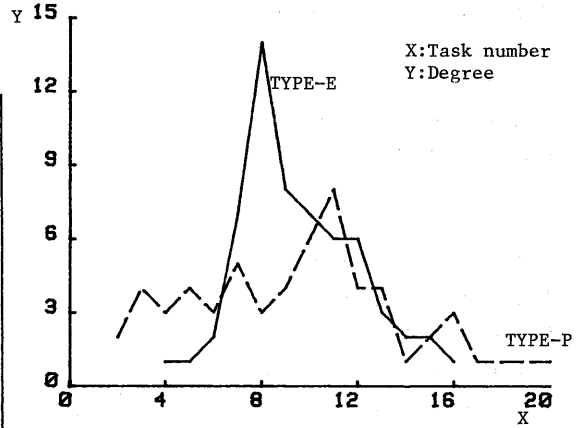


図6-3 度数分布図 (TYPE-PとTYPE-E)

表6-3 ALUの展開時のタスクの蓄積量 (TYPE-E)
平均 9.58 分散 6.41

Node	Port 0	Port 1	Port 2	SUM	%
0	16	10	1	27	5
1	1	1	1	3	1
2	1	1	1	3	1
3	1	1	1	3	1
4	1	1	1	3	1
5	1	1	1	3	1
6	1	1	1	3	1
7	1	1	1	3	1
8	1	1	1	3	1
9	1	1	1	3	1
10	1	1	1	3	1
11	1	1	1	3	1
12	1	1	1	3	1
13	1	1	1	3	1
14	1	1	1	3	1
15	1	1	1	3	1
16	1	1	1	3	1
17	1	1	1	3	1
18	1	1	1	3	1
19	1	1	1	3	1
190	193	177	205	575	101

表6-4 ALUの展開時のタスクの蓄積量 (TYPE-ES)
平均 5.28 分散 2.76

Node	Port 0	Port 1	Port 2	SUM	%
0			7	11	5
1			7	11	5
2			7	11	5
3			7	11	5
4			7	11	5
5			7	11	5
6			7	11	5
7			7	11	5
8			7	11	5
9			7	11	5
10			7	11	5
11			7	11	5
12			7	11	5
13			7	11	5
14			7	11	5
15			7	11	5
16			7	11	5
17			7	11	5
18			7	11	5
19			7	11	5
190	111	98	108	317	100

なっていることがわかる。

以上、3種類の展開法によるシミュレーション結果をもとに明らかになったことをまとめると、次のようになる。

- (1) AON上には、タスクがほぼ均等になるように、展開させる必要がある。
- (2) 論理シミュレーションのデータが多い方が処理速度が速くなる。(パイプライン処理に近くなっている。)
- (3) 一つの木が他の部分木となる場合は、その部分木となる木を省略することができる。
- (4) 処理速度は、TYPE-ESの場合、一台のコンピュータによる逐次処理に比し、約5.26倍の処理速度を有する。
- (5) シミュレーション実行時には、タスクのデータに待ち行列が生じる。これ

表6-5 シミュレーション結果

	Data	Calculate	1-inst	TYPE	Queue
1	1	70	70	ALU	0
2	1	151	151	ALU	0
3	1	151	151	ALU	0
4	1	151	151	ALU	0
5	1	151	151	ALU	0
6	1	151	151	ALU	0
7	1	151	151	ALU	0
8	1	151	151	ALU	0
9	1	151	151	ALU	0
10	1	151	151	ALU	0
11	1	151	151	ALU	0
12	1	151	151	ALU	0
13	1	151	151	ALU	0
14	1	151	151	ALU	0
15	1	151	151	ALU	0

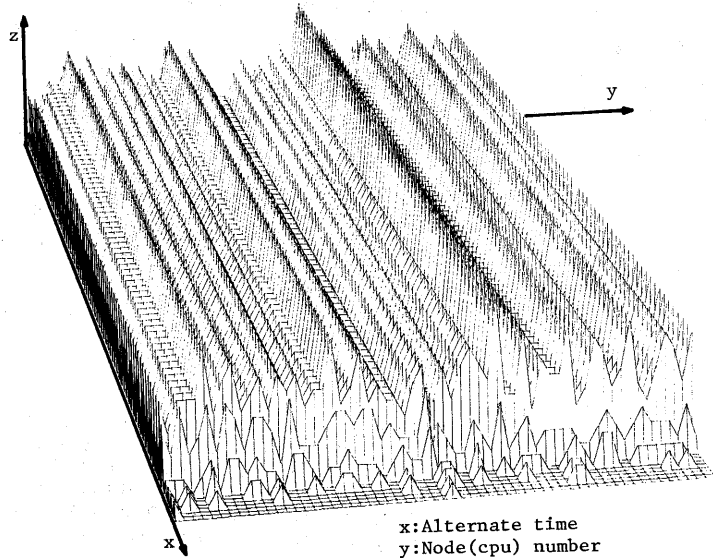


図6-4 ALUシミュレーション時のCPUの処理状況

は、データフローによる処理を行なうため、回路中の遅延がそのままデータの処理待ちとなるためである。しかし、ALUのシミュレーションの場合にはタスクの最大待ち行列は2であり、シミュレーションの実行には、全く支障がない。

図6-4は、シミュレーション時のCPUのタスク処理状況を描いたものである。処理されたタスクの量が各TNC毎ほぼ一定の状態から処理されていることから、データが次から次へと流れ、処理が滞ることなく並列に進み、最終段階において急速にタスクの処理が減少して終了する様子がよくわかる。

7. MOS回路の論理シミュレーション

AONによる論理シミュレーションの応用として、MOS回路の論理シミュレーションについて考察する。MOS回路の論理シミュレーションを行なう場合、MOS回路を、論理素子の回路に等価変換して行なう場合がある。この方法を用いるならば、AONによる論理シミュレーションは前述の方法で行なえる。しかし、ANDやORのような回路は、直ちに論理素子に変換できるが、図7-1の

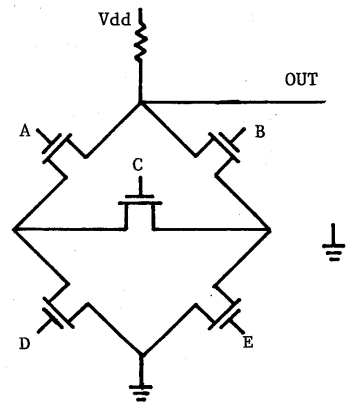


図7-1 MOS回路例

ような回路では論理素子の回路に変換することは困難である。又、MOS回路を論理素子の回路に変換するために、その回路の関数機能を正確に変換できない恐れもある。MOS回路はそのままMOS回路として論理シミュレーションを行なう方がシミュレーション本来の意味からすると好ましい。MOS回路の論理シミュレーションを行なう場合、MOSを単なるスイッチ動作をする素子と考えると、前述の回路との違いは、論理素子の回路では情報の流れが一方方向に決まっているが、MOS回路では情報が双方向に流れるということである。このため、MOS回路の論理シミュレーションでは、前述の方法のように、データフローで実行することはできなくなる。そこで、MOS回路を論理シミュレーションする方法について、図7-1の回路を図2-2のAON上でシミュレーションする場合を例にして説明する。

図7-1の回路は、図7-2のように3ポートのMOS回路に変換することができ、これによりAON上に展開することができる。これをシミュレーションするためには、AONを半数づつ交互に動作させ、TNCにはその動作時に蓄積されたタスクすべてを処理させるという方法を用いる。AONが交互動作を行なう回数は、MOS回路を3ポートのMOS回路に変換した場合の回路で考える必要がある。図7-2の場合であれば、最大11回の交互動作を行なうことにより結果が出力される。

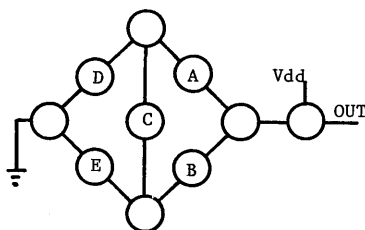


図7-2 MOS回路の3ポート表現

この最大回数は、出力端子からVddまたは、アース等の電源供給源となる端子までの最大経路の距離に相当する。ここに示した方法と、前述のシミュレーションとを比較すると次の点が異なる。

(1) タスクの演算子の種類は、MOSの動作すなわち開と閉を行なう演算子、および線の結合を行なう演算子の2種類で与えられる。

(2) 前述の方法ではデータを順次流したので高速化できる効果(パイプライン効果)があった。MOS回路のシミュレーションでは、一つのデータのシミュレーションが終るまで次のデータは扱えないのでこのような効果はない。

MOS回路についても、AONによる論理シミュレーションができることが明らかになった。

8. まとめ

本報告では、有限個のノードで構成される3ポートコンピュータネットワークによる並列論理シミュレーションについて新たな提案を行なった。この方式を用いることにより有限個のTNCをもつAONにおいて、論理素子の多い回路をネットワーク上に折りたたむように展開することによって並列論理シミュレーションが行なえることが明らかになった。また、本方式では、ネットワークの形状、展開を開始するノード等によって処理速度が異なるので、均等に展開できるようにネットワークを見出すことが今後の課題である。MOS回路のシミュレーションについては、AONによる論理シミュレーションの応用として述べたが本方式を用いることにより、MOS回路を直接シミュレーションすることが可能であることを示した。

参考文献

- (1) M. Lacroix, A. Pirotte: DATA STRUCTURES FOR CAD OBJECT DESCRIPTION, 18th Design Automation Conference, Paper 33.2, pp. 635-659 (1981)
- (2) Gregory F. Pfister: THE YORKTOWN SIMULATION ENGINE: INTRODUCTION, 19th Design Automation Conference, Paper 7.1, pp. 51-54 (1982)